Cauteur

CHARLES KETTEL à enseigné la plusique du solide à Berkeley de 1951 à 1978. Il fut auparavant membre du groupe de physique des solides des laboratoires Bell. Après des études au M.L.T. et à l'Université de Cambridge, il a prépare sa thèse de doctorat à l'Université du Wisconsin. Il est aujourd'hui membre de l'Académie des Sciences des États-Unis et de l'Académie américaine des Arts et des Sciences.

Sa recherche en plivsique des solides a débuté par l'étude des résonauces ferromagnétique, antiferromagnétique et paramagnétique et a porté sur les domaines magnétiques, les ondes de spins et les parois de domaines dans les aimants ferromagnétiques et les ferroèlectriques. Ses travaux sur la structure monodomaine de petites particules out conduit à de larges applications dans l'enregistrement magnétique, le géomagnétisme et le biomagnétisme. En collaboration avec des chercheurs de Berkeley, il a mené les premiers travaux sur la résonance evelotron dans les semi-conducteurs. Ces travaux ont permis de comprendre la structure de bande du silicium, du germanium et de l'antimonime d'indium avec leurs niveaux d'impuretés respectifs. Il a également travaillé à l'interprétation de la résonance magnéto-plasma dans les semi-conducteurs et de la résonance Alfvén de seguittes électron-tron du germanium.

Dès la 1^{rc} édition, l'ouvrage destiné aux étudiants de 2^{c} et 3^{c} tecles di verseures a intégré les aspects élémentaires de la physique du solide. La 7^{c} édition et un invocation pour la gé 6^{c} ation actuelle d'étudiants.

e van anorisée de la ception e et con de convrage publié en langue ag<mark>lot e sot s le titre : INTRODUCTION TO SOLID STATE PHYSICS par John Wiley & Sons, Inc. ©1996, by John Wiley & Sons, Inc.</mark>

PRÉFACE

Cet ouvrage est la 7° édition d'un traité de base en physique du solide et en science às matériaux. Il est destiné aux étudiants de 2° et 3° cycles universitaires ainsi quaux é et aingénieurs. Cette édition est une mise à jour de la 6° édition. Au cour ce ses de la réimpressions successives, des ajouts, des améliorations et des conestidus qu'il était terres de rassembler, ont été effectuées et de nouveaux thèmes in ét inclus. Certaires variées significatives ont été ajoutées ou discutées et lu plus approfondie notam nen-dans le domaine des supraconducteurs à la ure temperature ; des résultat de microscopie électronique à balayage sont en pass et la partie consacrée put fiores optiques a été dévelopée. Parmi les 10 néa nes de la présente et néa, cions les nanostructures, les superréseaux, les niveaux de Bloch/Wannier, l'effet namer Zener, les diodes électroluminescentes et les nouveaux matériaux magnétiques. L'ensemble de ce texte a été revu dans le but de conserver un nombre de pages et un prix raisonnables.

Le niveau théorique du contenu n'a pas changé; on discute davantage des matériaux usuels. La partie consacrée aux ondes et constantes élastiques qui avait été supprimée lors de la 4° édition est réintégrée ici car, comme beaucoup de lecteurs l'ont signalé, ce sujet n'est pas facile d'accès dans d'autres ouvrages. La partie qui traite des supraconducteurs est, quant à elle, plus développée que de coutume dans les ouvrages de ce niveau.

La physique de l'état solide décrit des propriétés, souvent étonnantes et fort utiles, qui résultent de la distribution des électrons dans les métaux, les semi-conducteurs et les isolants. J'explique tout au long de ce livre, comment les excitations et les imperfections des solides réels peuvent être comprises à partir de modèles simples dont la puissance et la portée sont désormais solidement établies. Le sujet est propice à l'interaction entre expérience, application et théorie. La version anglaise et ses nombreuses traductions ont apporté à plusieurs générations d'étudiants une image claire des processus physiques. De plus, ce livre plaît aux étudiants car il leur offre la possibilité de travailler en petits groupes.

Les enseignants pourront s'appuyer sur cet ouvrage pour préparer leur propre cours. Cependant, il y a deux manières classiques de présenter, sélectionner et ordonner les différents thèmes. Si les étudiants disposent de bases suffisantes en mécanique quantique, l'enseignant pourra aborder la théorie quantique de l'électron dans les solides à une dimension en commençant par le gaz d'électrons libres du chapitre 6 et les bandes d'énergie du chapitre 7. Il est préférable de traiter le réseau réciproque à trois dimensions (chapitre 2) avant d'aborder les semi-conducteurs (chapitre 8) et les surfaces de Fermi (chapitre 9). Les structures cristallines, les liaisons cristallines et les phonons pourront être considérés comme des lectures complémentaires. Dans une approche plus progressive, les huit premiers chapitres seront étudiés successivement et correspondent au programme de base pour un semestre.

VI Préface

Que dire de la mécanique statistique? Aborder les potentiels chimiques dans un cours de physique constitue toujours une difficulté pédagogique. Cette barrière intellectuelle vient de l'absence de clarté des écrits de J.W. Gibbs qui a découvert et expliqué le phénomène un siècle auparavant. Herbert Kroeiner et moi-même avons clarifié la physique des potentiels chimiques dans les premiers chapitres du livre que nous avons rédigés sur la physique thermique.

Les revues approfondissent largement tous les sujets traités dans ce livre ainsi que de nombreux autres; c'est pourquoi, en toute connaissance de cause, je ne cite que les articles les plus représentatifs. Il ne faut pas voir dans cette sélection un manque de respect à ceux qui se sont lancés les premiers sur ces sujets.

Les notations cristallographiques sont celles couramment utilisées en physique. Les équations importantes ont été écrites dans les deux systèmes d'unités SI et CGS lorsqu'ils différaient. Font exception à cette règle, les légendes des figures, les résumés de chapitres ainsi que les longs passages du texte pour lesquels une indication unione le Cstituer 1 à c ou 1 à 1=4 "0 dans les formules) permet de passer d'une service d'autre. Les tables des matières de plusieurs chapitres sont assorties de rand que sur les conventions adoptées pour faciliter l'utilisation parallèle des deux yeurnes. Il est appur 0 ile et peu contraignant d'introduire dans ce livre les deux systèmes d'unitée.

Les tableaux sont donnés en unité (pavertionnelles. Le symbole et le lignée la charge du proton; c'est donc une culir trépositive. La notation [18] it dique que l'on se réfère à l'équation nu ne d'it cri chapitre en cours tar li que [3.18] renvoie à l'équation 18 du chapitre 3; les figures sont repérées de la même manière. Un accent circonflexe ou un chapeau sur un vecteur, k par exemple, indique que ce vecteur est unitaire. Peu de problèmes sont à proprement parler faciles; la plupart ont été conçus afin de prolonger le thème du chapitre.

Cette nouvelle édition doit beaucoup aux conseils du Professeur Steven G. Louie. Je suis reconnaissant à P. Allen, M. Beasley, D. Chemla, T.-C. Chiang, M.L. Cohen, M.G. Craford, A.E. Curzon, D. Eigler, L.M. Falicov, R.B. Frankel, J. Friedel, T.H. Geballe, D.M. Ginsberg, C. Herring, H.F. Hess, N. Holonyak Jr., M. Jacob, J. Mamin, P. McEuen, J.G. Mullen, J.C. Phillips, D.E. Prober, Marta Puebla, D.S. Rokhsar, L. Takacs, Tingye Li, M.A. Van Hove, E.R. Weber, R.M. White, J.P. Wolfe et A. Zettl pour les corrections, les données et les illustrations. J'ai une dette particulièrement grande envers Clifford Mills de l'équipe de Wiley qui a supervisé la publication, envers Cathy Donovan pour son habilité à intégrer les ajouts dans les treize impressions successives et envers Suzanne Ingrao, de Ingrao Associates, pour ses compétences et sa compréhension pendant les étapes éditoriales.

C. KITTEL

Notes des traductrices

La présente édition a bénéficié, pour un certain nombre de chapitres, des travaux des éditions antérieures. Pour cette raison, nous tenons particulièrement à remercier les traducteurs des éditions précédentes, notamment ROBERT MÉGY et MICHÈLE POUMELLEC, qui ont assuré la traduction de la 5^e édition sous la direction de CLAIRE DUPAS.

Dans la 7' édition, nous avons respecté autant que possible la démarche pédagogique de Charles Kettel. Il nous est parfois arrivé de modifier ou de compléter légèrement le texte anglais. En particulier, nous avons rajouté certaines notes de bas de page (repérées par *), essentiellement lorsque le terme anglais n'avait pas d'équivalent français. C'est notamment le cus des sigles techniques par lesquels la dénomination anglaise est la plus couramment utilisée. Nous avons également et o se conserver les références des figures déjà présentes dans la 5'édition, afin que le color problement en aux articles ou aux ouvrages correspondants. Dans le color des parfois fait référence à d'autres ouvrages de Charles Kittel, notamment TP par l'he mai Physics et Color (VTS) pour Quantum Thermal Physics.

Cet ouvrage constitue une synthèse (e. a.n. lète des nombreux don à es Mardés en physique des solides et des surfaces et en science à s'matériaux. Nous est met que la présente édition apportera au lecteur une vue gli bate les l'éférentes évolutions le a (n. sant) actuelle.

> NATHALIE BARDOU ÉVELYNE KOLB

${f G}$ UIDE DES <u>PRINCIPAU</u>X TABLEAUX

1.1	Les 14 types de réseaux tridimensionnels	11
1.2	Caractéristiques des reseaux cubiques	11
1,3	Structure cristalline des éléments	23
1,4	Densité et concentration atomique des éléments	24
3.1	Énergie de colièsion des éléments	54
3.2	Points de fusion, cu K	55
3.3	Modules isothermes de compression et compressibilités	
	à température ambiante	1.5
3.4	Propriétés des cristaux de gaz rares	6216
3.5	Énergic d'ionisation des éléments	58
3,6	Affinités électroniques des ions négatifs	66
3.7	Propriétés des halogénures d'alcalins	1 1 1 1 1 1 1 1 1 1
	Caractère ionique partiel des liaisons dans le c ist ur binaires	71
3.9	Rayons atomiques et ioniques	74
	Utilisation des rayons a vive ra de Jons	75
3.11	à température ambiante Propriétés des cristaux de gaz rares Énergic d'ionisation des éléments Affinités électroniques des ions négatifs Propriétés des halogénures d'alcalins Caractère ionique partiel des liaisons dans le c list un binaires Rayons atomiques et ioniques Utilisation des rayons a intera que ions Modules d'élements actionatiques de cristaut cubin es	
	à basse tempélature et à température ambialite	85
3.12	Modules d'élasticité adiabatiques de plusieurs cristaux cubiques	NC.
F 1	à température ambiante ou 300 K	86
	Températures de Debve et conductivité thermique	118
	Valeurs du libre parcours moyen des phonons	123 132
	Paramètres calculés de la surface de Fermì des électrons libres d'un métal	132
O.Z	Valeurs expérimentales et calculées de la capacité calorifique électronique des métaux	143
63	Conductivités et résistivités électriques des métaux à 295 K	146
	Comparaison des constantes de Hall expérimentales	152
	Nombres de Lorentz expérimentaux	154
	Largeur de la bande interdite entre les bandes de valence et de conduction	183
	Masses effectives des électrons et des trous	194
	Mobilité des porteurs à la température ambiante, en cm ² /V.s	200
	Constante diélectrique statique de certains semi-conducteurs	202
	Énergies E_d d'ionisation des donneurs	202
	Énergies E_d d'ionisation des accepteurs	204
	Concentrations en électrons et en trous dans les semi-métaux	207
	Longueur d'onde limite de transmission de l'ultraviolet dans les alcalins	250
	Énergie des plasmons de volume	253
••	Fréquences de réseau	266
	Constantes de couplage, masses	270
	Énergie de liaison des excitons	285
	Paramètres du liquide d'électrons-trous	292
	Acronymes des techniques expérimentales couramment utilisées	302
	pour l'étude de la structure de bande	298
12.1	Paramètres de supraconductivité des éléments	306
12.2	Supraconductivité de quelques composés	307

om Notesale.co ge 18 of 218

d'ordre un, deux, trois, quatre ou six qui laissent ces réseaux invariants, ce qui correspond à des rotations de 2π , $2\pi/2$, $2\pi/3$, $2\pi/4$, $2\pi/6$ radians ou de multiples de ces angles de rotation. Ces axes de rotation sont désignés par les symboles 1, 2, 3, 4 et 6.

On ne peut pas trouver un réseau invariant par d'autres rotations que celles qui vienment d'être citées (ainsi, par exemple, $2\pi/7$ radians et $2\pi/5$ radians sont exclues). Une molécule unique peut avoir une symétrie de rotation de n'importe quel ordre, mais cela n'est pas possible pour un réseau périodique infini. On peut bâtir un cristal avec des molécules possédant individuellement un axe de rotation d'ordre 5 mais le réseau ne pourra pas posséder cet axe d'ordre 5. La figure 7 montre ce qui se passe lorsqu'on essaie de construire un réseau périodique d'ordre 5 : il est impossible de rendre jointifs

Figure 7 Un axe de rotation d'ordre cinq ne peut exister dans un réseau, car il n'est pas possible de remplir l'espace avec un pavage contidu de pentagones. On peut cependant republició space avec deux types distinció la carreaux de pavage » ou polytories léticiéntaires. Un quas cristal est une assimblée quasi périodique nor aléatoire de 2 types de figures, Les quasi-cristaux sont exposés à la fin du chapitre 2.

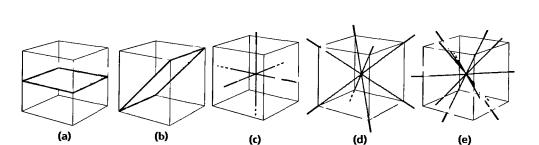


Figure 8 (a) Un plan de symétrie parallèle aux faces du cube. (b) Un plan diagonal de symétrie d'un cube. (c) Les trois axes quaternaires d'un cube. (d) Les quatres axes ternaires d'un cube. (e) Les six axes binaires d'un cube.

tous les pentagones ; ceci prouve que les symétries d'ordre 5 ne sont pas compatibles avec les translations du réseau.

On appelle groupe ponctuel l'ensemble des opérations de symétrie qui laissent le réseau invariant lorsqu'on les applique autour d'un nœud du réseau. Les rotations possibles ont été énumérées précédemment. Nous pouvons aussi avoir des symétries par rapport à un plan passant par le nœud, notées m. La symétrie inverse est formée d'une rotation de π et d'une symétrie par rapport à un plan perpendiculaire à l'axe de rotation ; l'effet résultant est de transformer : \mathbf{r} en $-\mathbf{r}$. Les axes et plans de symétrie d'un cube sont donnés à la figure 8.

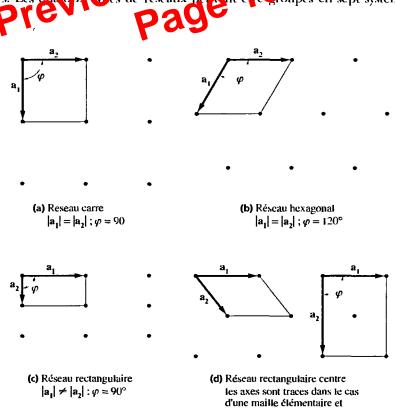
Systèmes cristallins à deux dimensions

On peut imaginer un nombre illimité de réseaux possibles car les longueurs des vecteurs de translation \mathbf{a}_1 , \mathbf{a}_2 ou l'angle φ entre eux peuvent être quelconques. Le réseau de la figure 5(a) a été tracé pour \mathbf{a}_1 et \mathbf{a}_2 quelconques. Un réseau quelconque de ce type est appelé **réseau oblique** et n'est invariant que par des rotations de π ou 2π autour d'un nœud quelconque.

Mais certains réseaux obliques penvent être invariants par des rotations de $2\pi/3$, $2\pi/4$ on $2\pi/6$ on des symétries par rapport à un plan. Nous devons imposer des conditions sur \mathbf{a}_1 et \mathbf{a}_2 si l'on veut que le réseau possède une de ces symétries. Elles sont au nombre de quatre et chacune conduit à ce que l'on peut appeler un système cristallin particulier. Dans un espace à deux dimensions, il y a donc cinq systèmes réticulaires différents, le système oblique et les quatre systèmes particuliers présentés figure 9. Ces différents systèmes sont appelés réseaux de Bravais ; nons dirons qu'il y a cinq réseaux de Bravais à deux dimensions.

Systèmes cristallins à trois dimensions

Dans l'espace à trois dimensions il y adplator è reseaux de Branca classés dans le tableau 1. Le système le plus général est le réseau triclingué, les colle autres réseaux sont particuliers. Les quate la voes de réseaux persont ê resgroupés en sept systèmes



d'une maille rectangulaire pour laquelle

 $|\mathbf{a}_1| \neq |\mathbf{a}_2|$; $\varphi = 90^\circ$

La figure 19 est une photographie d'un cristal de galène (PbS) provenant de Joplin, Missouri. Ces spécimens forment de magnifiques cubes.

Figure 19 Cristaux naturels de sulfure de plomb, PbS, qui possède la structure cristalline de NaCl (photographie de B. Burleson).

from Notesale.co I from 26 of 218 Page 26 of 218

Structure du Double césium

La structure du chlorure de césium est représentée sur la figure 20. La maille primitive contient une seule molécule, les atomes étant placés aux positions 000 et $\frac{1}{2}\frac{1}{2}\frac{1}{2}$ du réseau cubique simple. Chaque atome est le centre d'un cube d'atomes de l'espèce opposée et le nombre de coordination est donc huit. Le tableau suivant donne des exemples de cristaux ayant la structure de CsCl.

Cristal	a	Cristal	a
BeCu	2,70Å	LiHg	3,29 Å
AlNi	2.88	NH ₄ Cl	3,87
$CuZn(laiton \beta)$	2,94	TlBr	3,97
CuPd	2,99	CsC1	4,11
AgMg	3,28	TII	4.20

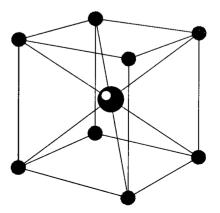


Figure 20 Structure cristalline du chlorure de césium. Le réseau est cubique simple, et la base comporte un ion Cs⁺ en 000 et un ion Cl⁻ en $\frac{1}{2}$ $\frac{1}{2}$ $\frac{1}{2}$.

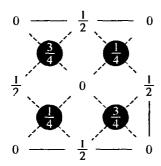


Figure 24 Positions atomiques dans la maille cubique du diamant en projection sur une face ; les fractions indiquent les côtes des atomes par rapport au plan de base, en unités d'arête. Les points en 0 et $\frac{1}{2}$ sont sur le réseau cfc ; ceux en $\frac{1}{4}$ et $\frac{3}{4}$ sont sur un réseau identique déplacé par rapport au premier d'un quart de diagonale. Quand le réseau est cfc, la base est formée de deux atomes identiques en 000 et $\frac{1}{4}$ $\frac{1}{4}$ $\frac{1}{4}$.

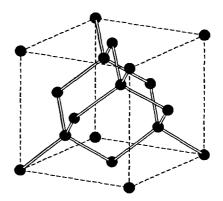


Figure 25 Structure cristalline de l'arran montrant les liaisons té la liaison de l'arran de l'arra

Structure cubique du sult de Cinc

La structure du damant peut être vue conme deux tructures cfc décalées l'une par rapport à l'autre d'un quart de diagonale du cube. La structure du sulfure de zinc cubique (blende) est obtenue en plaçant les atomes de Zn sur l'un des réseaux cfc et les atomes de S sur l'autre, comme le montre la figure 26. La maille conventionnelle est cubique. Les coordonnées des atomes de Zn sont 000; $0\frac{1}{2}\frac{1}{2}$; $\frac{1}{2}0\frac{1}{2}$; $\frac{1}{2}\frac{1}{2}0$; les coordonnées des atomes de S sont $\frac{1}{4}\frac{1}{4}\frac{1}{4}$; $\frac{3}{4}\frac{3}{4}\frac{1}{4}$; $\frac{3}{4}\frac{3}{4}\frac{3}{4}$; Le réseau est cfc avec quatre molécules de ZnS par maille conventionnelle. Autour de chaque atome, on trouve quatre atomes équidistants de l'espèce opposée disposés aux sommets d'un tétraèdre régulier.

La structure du diamant a un centre de symétrie inverse au milieu du segment joignant deux plus proches voisins ³. La structure de ZnS ne possède pas cette symétrie inverse.

Exemples de corps possédant cette structure :

Cristal	а	Cristal	a
CuF	4,26 Å	ZnSe	5,65 Å
SiC	4,35	GaAs	5,65
CuCl	5,41	AlAs	5,66
ZnS	5,41	CdS	5,82
AlP	5,45	InSb	6,46
Ga•	5,45	AgI	6,47

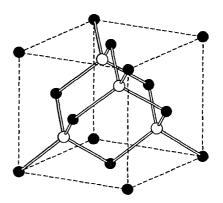


Figure 26 Structure cristalline du sulfure de zinc cubique.

 $^{^8}$ Dans l'opération d'inversion chaque point ${\bf r}$ est transformé en $-{\bf r}$. Le centre d'un tétraèdre n'est pas un centre de symétrie.

Structure cristalline

Empilement aléatoire et polytypisme

Les structures cfc et hc sont formées toutes les deux de plans denses d'atomes et ne diffèrent que dans la séquence d'empilement des plans, la séquence du cfc étant ABCABC... et celle du hc ABABAB... on connaît également des structures pour lesquelles la séquence d'empilement des plans denses est aléatoire, ainsi ACBCABAC.... C'est ce que l'on appelle l'empilement aléatoire. Sous certains aspects on peut considérer une structure à empilement aléatoire comme étant cristalline dans deux dimensions et amorphe dans la troisième. La structure d'un verre est aléatoire dans les trois dimensions.

Le polytypisme est caractérisé par une séquence d'empilement à période élevée. L'exemple le plus classique est le sulfure de zinc, ZnS, pour lequel 150 polytypes ont pu être identifiés avec des périodicités pouvant aller jusqu'à 360 couches. Un autre exemple est le carbure de silicium qui se rencontre sous plus de 45 séquences connues d'empilement des couches hexagonales. Le polytype de SiC connu sous le nom de 393 $\rm R$ à comaille primitive de dimensions $a=3,079\,\rm Å$ et $c=989,6\,\rm Å$. La maille principe au plus longue observée pour SiC a une période de 594 couches. Le mi consider qui produit un ordre cristallographique à si longue distance n'est pas l'existant de forces à longue distance, mais la présence de marches en spiralet (in stat x dislocations de las le gert le de croissance (chap. 20).

DONNÉES SUR LES STRUCTURES CONTALLES

Dans le tableau 3 nous indiquons les structures et les paramètres des cristaux les plus courants. Les valeurs de la densité et de la concentration atomique sont données par le tableau 4.

De nombreux éléments se présentent sous plusieurs formes cristallines et se transforment de l'une en l'autre quand la température varie. Parfois deux structures coexistent à la même température, bien que l'une soit légèrement plus stable.

Le lecteur qui chercherait la structure cristalline d'une substance doit consulter l'excellente table de WYCKOFF (voir bibliographie). Strukturbericht, Structure Reports, et les journaux Acta Crystallographica et Zeitschrift fur Kristallographie sont également des références utiles.

RÉSUMÉ

- 1. Un réseau est un ensemble de points reliés entre eux par l'opérateur de translation du réseau $\mathbf{T} = u_1 \mathbf{a}_1 + u_2 \mathbf{a}_2 + u_3 \mathbf{a}_3$ où u_1 , u_2 , u_3 sont des entiers et \mathbf{a}_1 , \mathbf{a}_2 , \mathbf{a}_3 , sont appelés les axes du cristal.
- 2. Pour former un cristal, attachons à chaque nœud du réseau une base identique de s atomes aux positions

$$\mathbf{r}_j = x_j \, \mathbf{a}_1 + y_j \, \mathbf{a}_2 + z_j \, \mathbf{a}_3$$
, avec $j = 1, 2, \dots, s$.

lci, x, y, z, peuvent être choisies pour prendre des valeurs comprises entre 0 et 1.

3. Les axes \mathbf{a}_1 , \mathbf{a}_2 , \mathbf{a}_3 , sont appelés primitifs pour le volume minimal $|\mathbf{a}_1 \cdot \mathbf{a}_2 \times \mathbf{a}_3|$ de maille à partir de laquelle la structure cristalline peut être bâtie avec un opérateur de translation \mathbf{T} et une base à chaque nœud du réseau.

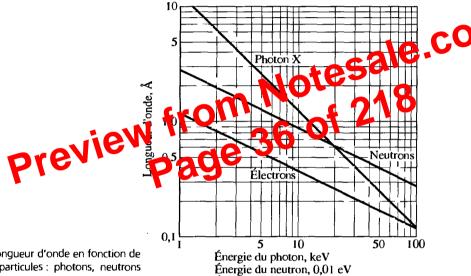
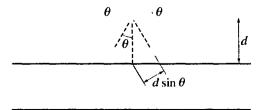


Figure 1 Longueur d'onde en fonction de l'énergie des particules : photons, neutrons et électrons.

Figure 2 Démonstration de l'équation de Bragg $2d \sin \theta = n\lambda$; d est l'intervalle entre deux plans d'atomes parallèles et $2n\pi$ est la différence de phases entre les réflexions de deux plans successifs. Les plans réfléchissants n'ont rien à voir avec les plans des faces de l'échantillon.



Énergie de l'électron, 100 eV

Si tous les indices sont des entiers pairs, S=4f; il en est de même si tous les indices sont des entiers impairs. Mais si l'un seulement des entiers est pair, deux des exposants seront des multiples impairs de $-i\pi$ et S va s'annuler. De même si un seul des indices est impair, le même raisonnement permet de dire que S s'annulera également. Donc dans un réseau cfc aucune réflexion ne peut provenir de plans dont les indices sont en partie pairs et en partie impairs. Ceci est clairement illustré par la figure 17 : KCl et KBr ont tous deux un réseau cfc, mais KCl se comporte comme un réseau cs car les ions K⁺ et Cl⁻ ont le même nombre d'électrons.

Facteur de forme atomique

Dans l'expression [46] du facteur de structure apparaît la quantité f_j que nous avons associée au pouvoir diffusant du j-ième atome de la maille. La valeur de f fait intervenir le nombre et la distribution des électrons de l'atome et également la longueur d'onde et l'angle de diffusion du rayonnement. Ces facteurs interviennent à cause des effets d'interférence dus à la taille finie des atomes. Nous donnons maintenant un calcul classique du facteur de diffusion.

Le rayonnement diffusé par un atome isolé doit tenir compte des distributions dans l'atome. Nous avons défini en [42] le facteur de forme

$$f_j = \int dV \, n_j(\mathbf{r}) \exp(\mathbf{i} \mathbf{r}), \qquad \qquad \mathbf{2} \mathbf{1} \mathbf{Q}_j$$

l'intégrale portant sur la derrite l'Arthonique associée à l'atome isolé. Soit α l'angle entre \mathbf{r} et \mathbf{G} ; \mathbf{G} = \mathbf{r} \tag{2} \tag{2} \tag{3} \tag{2} \tag{3}.

Si la distribution de trodique a une symétre se le l'origine, alors

$$f_j \equiv 2\pi \int dr \ r^2 d(\cos \alpha) n_j(r) e^{-iGr \cos \alpha}$$

$$\equiv 2\pi \int dr \ r^2 n_j(r) \cdot \frac{e^{iGr} - e^{-iGr}}{iGr},$$

après intégration par rapport à $\cos\alpha$ entre -1 et 1. Par conséquent, le facteur de forme est donné par

$$f_j = 4\pi \int dr \ n_j(r) r^2 \frac{\sin Gr}{Gr}$$
 [50]

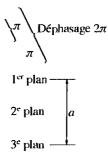


Figure 16 Explication de l'absence de réflexion (100) pour un réseau cubique centré. Le déphasage entre plans successifs est π , l'amplitude réfléchie est donc $1+e^{-i\pi}=1-1=0$.

Si la même densité électronique totale était concentrée en r=0, seul Gr=0 interviendrait dans l'intégrant : alors $(\sin Gr)/Gr=1$, et

$$f_j = 4\pi \int \mathrm{d}r \, n_j(r) r^2 = Z, \qquad [51]$$

nombre d'électrons de l'atonic. Par conséquent, f est le rapport entre l'amplitude du rayonnement diffusé par la distribution réelle des électrons dans un atome et celle du rayonnement diffuse pour un seul électron localisé en un point.

Pour l'onde diffusée vers l'avant G=0 et f se réduit à nouveau à la valeur Z. Les valeurs des facteurs de forme atomiques sont données dans les tables internationales de cristallographie par rayons X, volume 3.

La distribution électronique totale dans un solide est très proche de celle des atomes libres correspondants. Ceci ne veut pas dire que les électrons externes (ou électrons de

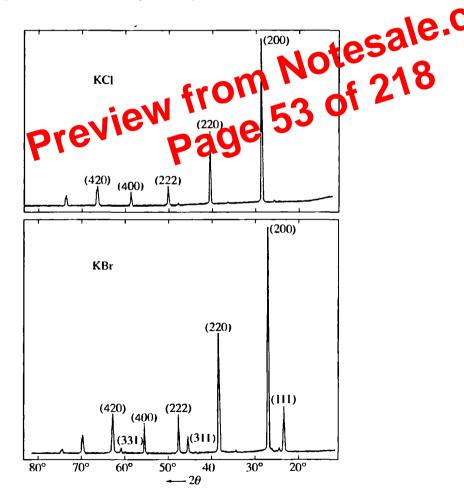


Figure 17 Comparaison des réflexions des rayons X par des poudres de KCI et KBr. Dans KCI les facteurs de forme des ions K $^+$ et CI $^-$ sont presque exactement égaux de sorte que le cristal se comporte aux rayons X comme s'il était un réseau cubique simple de paramètre a/2. Seuls des entiers pairs apparaissent dans les indices quand on les rapporte à un réseau de paramètre a. Dans KBr le facteur de forme de Br $^-$ est très différent de celui de K $^+$, et toutes les réflexions du réseau cfc sont présentes (Robert Van Nordstrand).

Le diagramme de diffraction d'un quasi-cristal tridimensionnel est sensiblement différent, même s'il est bien défini et peut présenter la symétrie d'ordre 5 par laquelle les quasi-cristaux furent détectés. La figure 20 montre un diagramme de diffraction présentant la symétrie d'ordre 5 obtenu par des calculs numériques sur ordinateur.

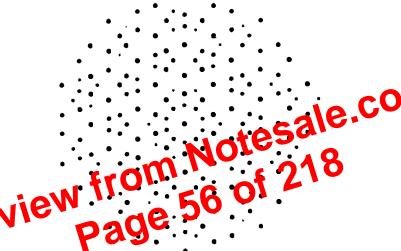


Figure 20 Résultat du calcul de la transformée de Fourier (diagramme de diffraction) d'un quasi-cristal icosaédrique le long de l'un des axes d'ordre 5, illustrant la symétrie d'ordre 5. La transformée d'ordre 5 La transformée d'un modèle theorique sur ordinateur (d'après Michael JACOB)

RÉSUMÉ

1. Différentes formulations de la loi de Bragg :

$$2d \sin \theta = n\lambda$$
; $\Delta \mathbf{k} = \mathbf{G}$; $2\mathbf{k} \cdot \mathbf{G} = \mathbf{G}^2$.

2. Conditions de Laue:

$$\mathbf{a}_1 \cdot \Delta \mathbf{k} = 2\pi v_1$$
; $\mathbf{a}_2 \cdot \Delta \mathbf{k} = 2\pi v_2$; $\mathbf{a}_3 \cdot \Delta \mathbf{k} = 2\pi v_3$.

3. Vecteurs fondamentaux du réseau réciproque :

$$\mathbf{b}_1 = 2\pi \; \frac{\mathbf{a}_2 \times \mathbf{a}_3}{\mathbf{a}_1 \cdot \mathbf{a}_2 \times \mathbf{a}_3} : \quad \mathbf{b}_2 = 2\pi \; \frac{\mathbf{a}_3 \times \mathbf{a}_1}{\mathbf{a}_1 \cdot \mathbf{a}_2 \times \mathbf{a}_3} \; ; \quad \mathbf{b}_3 = 2\pi \; \frac{\mathbf{a}_1 \times \mathbf{a}_2}{\mathbf{a}_1 \cdot \mathbf{a}_2 \times \mathbf{a}_3} \; .$$

où a₁, a₂. a₃ sont les vecteurs fondamentaux du réseau cristallin.

4. Un vecteur du réseau réciproque a la forme

$$G = v_1 b_1 + v_2 b_2 + v_3 b_3$$

où v_1 , v_2 , v_3 sont des entiers.

5. L'amplitude diffusée dans la direction $\mathbf{k}' = \mathbf{k} + \Delta \mathbf{k} = \mathbf{k} + \mathbf{G}$ est proportionnelle au facteur de structure :

$$S_G \equiv \sum f_i \exp(-i\mathbf{r}_j \cdot \mathbf{G}) = \sum f_j \exp[-i2\pi(x_j v_1 + y_j v_2 + z_j v_3)]$$

CHAPITRE 3

LIAISON CRISTALLINE ET CONSTANTES ÉLASTIQUES

Cristaux de gaz rares	16.
CRISTAUX DE GAZ RARES CRISTAUX IONIQUES CRISTAUX COVALENTS CRISTAUX MÉTALLIQUES PAGE CRISTAUX À LIAISON HYDROGÈNE RAYONS ATOMIQUES ANALYSE DES DÉFORMATIONS ELASTIQUES	6
CRISTAUX COVALENTS FYON 62	68
CRISTAUX MÉTALLIQUES VIEW	72
CRISTAUX À LIAIS DN HYDROGÈNE	72
RAYONS ATOMIQUES	73
Analyse des déformations elastiques	75
Constantes d'élasticité et de rigidité	78
Ondes élastiques dans les cristaux cubiques	82
RÉSUMÉ	86
Problèmes	86
1. Solide quantique	86
2. Energie de cohésion du néon cubique centré et cubique à faces centrées	87
3. Hydrogène moléculaire solide	87
4. Possibilité de cristaux ioniques R ⁺ R ⁻	87
5. Cristal ionique linéaire	87
6. Structure de ZnS cubique (blende de zinc)	87
7. Cristaux ioniques divalents	87
8. Module de Young et coefficient de Poisson	88
9. Vitesse de propagation d'une onde longitudinale	88
10. Vitesse de propagation d'une onde transverse	88
11. Module de cisaillement	88
12. Approche par les déterminants	89
13. Direction de propagation quelconque	89
14. Critère de stabilité	89
BIBLIOGRAPHIE	90

He [a] 0,00 1168	Ne [d] 0,010 100	Ar [a] 0,016 93,8	Kr [a] 0,018 56	×	<u>₽</u>	Lu 0,411 2,43	
si- our ta	L.	ច	<u>a</u>		¥	Yb Lı 0,133 0, 7,52 2,	S L
<i>ik of ph</i> y ultée pc réfèren	0	S (r) 0,178 5,62	Se 0,091 11,0	Te 0,230 4,35	(0,26) (3,8)	97	
Handboo tre cons tèses se	N [e] 0,012 80	P (b) 0,304 3,29	As 0,394 2,54	Sb 0,383 2,61	Bi 0,315 3,17		W
leau 3 Modules isothermes de compression et compressibilités à température ambiante D'après K. Gschweidner, Jr., Solide State Physics 16, 275-426 (1964); plusieurs données sont de F. ΒπcH, dans Handbook of physical constants, Geological Society of America Memoir 97, 107-173 (1966). La bibliographie d'origine devra être consultée pour utiliser ces valeurs en recherche. Les valeurs entre parenthèses sont des estimations. Les lettres entre parenthèses se réfèrent à la forme cristalline. Les lettres entre crochets se rapportent à la température.	C (d) 5,45 0,183	Si 0,988 1,012	Ge 0,772 1,29	Sn (g) 1,11 0,901	Pb 0,430 2,33	97 0,411	ale.
i ture an de F. Birc d'origine res entre	B 1,78 0,562	Al 0,722 1,385	Ga [b] 0,569 1,76	0,411 2,43	0,359	Ofes	~ G_
empéra ées sont ographie . Les fett		N/m²	70 1,67	100	Hg (e)	2,6 2,6	5 O_
tés à te rs donne La biblic imations e.	D	· Va	1,37 7,37	007	2 6 5	3 0,399 2,51	~
essibili; plusieu (1966). des esti	<u>∞</u> ⊼	Symbole Module de compression ; unités : 10 ¹² dyne/cm² o _. o. Compressibilité ; unités : 10 ⁻¹² cm²/dyne ou 10 ⁻¹¹ n ^e y	538	Pd 1,808 0,553	2,783 1 0,359 0	Gd 0,383 2,61	§ _
compression (1964), (1	.: [e]) ¹² dyne dyne ou	14	69	3,55 2,7 0,282 0,3	Eu 0,147 6,80	E _
lon et 1 275-426 oir 97, 1 barenthè	Ⅱ 4 ⊼	ités : 10 ¹² cm²/	_	11		Sm 0,294 3,40	Pu 0,54 1,9
npress sics 16, 2 ca Mem s entre p	1; [d]	sion ; un tés : 10			0s (4,18)	(0,35)	Np (0,68) (1,5)
de cor tate Phy f Amerik s vafeur e croche	= [2] :	ompress ité ; uni	Mn 1 0,596 5 1,68	Tc (2.97) (0.34)	Re 3,72	Nd 0,327 3,06	0,987 1,01
ermes Solide S ociety o Priche. Le	: 273 K	oole de de co oressibil	Cr 1,901 0,526	Mo 2,725 0,366	3,232 0,309	306 27	Pa (0,76) (1,3) 1
s isoth	= [<i>q</i>] :	Symbole Module d Compres:	V 1,619 0,618	Nb 1,702 0,587	Ta 2,00 0,50	Ce (y) Pr 0,239 0,3 4,18 3,3	84 A4
Module GSCHNEID nts, Geol valeurs oristalline	[a] = 77 K; $[b] = 273 K$; $[c] = 1$; $[d] = 4 K$; $[e] = 81 K$	Mg - 0,354 2,82 -	T i 1,051 0,951	2r 0,833 1,20	Hf 1,09 0,92	9 0 4	€ 0.0 €
Tableau 3 Modules isothermes de compression et compressibilite D'après K. GSCHNEIDNER, Jr., Solide State Physics 16, 275-426 (1964); plusieurs cal constants, Geological Society of America Memoir 97, 107-173 (1966). L utiliser ces valeurs en recherche. Les valeurs entre parenthèses sont des estir la forme cristalline. Les lettres entre crochets se rapportent à la température.	[a]	≥ 0 vi	Sc 0,435 2,30	Υ 0,366 2,73	La 0,243 4,12	Ac (0,25) (4,)	
Table ດ ດ	Be 1,003 0,997	Mg 0,354 2,82	Ca 0,152 6,58	Sr 0,116 8,62	Ba 0,103 9,97	Ra (0,132) (7,6)	
H [a] 0,002 500	Li 0,116 8,62	Na 0,068 14,7	⊼ 0,032 31,	Rb 0,031 32,	Cs 0,020 50,	(0,020) (50.)	

À la distance d'équilibre R_0 , $dU_{tot}/dR = 0$, d'où

(CGS)
$$N \frac{\mathrm{d}U_i}{\mathrm{d}R} = -\frac{Nz\lambda}{\rho} \exp(-R/\rho) + \frac{N\alpha q^2}{R^2} = 0, \quad [22]$$

soit

(CGS)
$$R_0^2 \exp(-R_0/\rho) = \rho \alpha q^2/z\lambda.$$
 [23]

ceci détermine la distance d'équilibre R_0 si les paramètres ρ , λ de l'interaction répulsive sont connus. Pour convertir en SI remplacer q^2 par $q^2/4\pi\varepsilon_0$.

L'énergie réticulaire totale du cristal contenant 2N ions séparés de la distance d'équilibre R_0 peut s'écrire en utilisant [20] et [23] :

(CGS)
$$U_{\text{tot}} = -\frac{N\alpha q^2}{R_0} \left(1 - \frac{\rho}{R_0} \right).$$
 [24]

Le terme $-N\alpha q^2/R_0$ est l'énergie de Madelung. Nous trouverons que ρ est de l'orde de $0,1\,R_0$; l'énergie de répulsion agit donc à très courte distance. Évaluation de la constante de Madelung

Le premier calcul de la constante α de l'énergie coulombienne a fut effectué par Madelung. Une puissante méthod à Matte pour toutes les son ration dans un cristal a été développée par Ewald y en présentée dans l'appandice B. Les ordinateurs sont maintenant utilis saour extre de calculs

La définition de la constante de Madelung y est, d'après [21]

$$\alpha = \sum_{i} ' \left(\frac{(\pm)}{p_{ij}} \right).$$

D'après [20], il est nécessaire que α soit positif pour que le cristal soit stable. Si nous prenons pour ion de référence un ion négatif, le signe + sera utilisé pour des ions positifs et le signe moins pour les ions négatifs. Une définition équivalente est :

$$\frac{\alpha}{R} = \sum_{j} {\prime} \frac{(\pm)}{r_{j}},\tag{25}$$

où r_i est la distance entre le j-ième ion et l'ion de référence et R la distance entre plus proches voisins. Il fant souligner que la valeur de α variera suivant qu'on la définit par rapport à la distance entre plus proches voisins R, par rapport au paramètre cristallin aou par rapport à toute autre longueur.

Calculons, par exemple, la constante de Madelung pour la ligne infinie d'ions de signes alternés de la figure 9. Nous prenons un ion négatif pour ion de référence, et R représente la distance entre deux ions adjacents. Alors

$$\frac{\alpha}{R} = 2\left[\frac{1}{R} - \frac{1}{2R} + \frac{1}{3R} - \frac{1}{4R} + \dots\right],$$

ou

$$\alpha = 2\left[1 - \frac{1}{2} + \frac{1}{3} - \frac{1}{4} + \ldots\right];$$

le facteur 2 apparaît car il y a deux ions, l'un à droite, l'autre à gauche, à égale distance r_j de l'ion de référence. Par comparaison au développement en série de

$$\ln(1+x) = x - \frac{x^2}{2} + \frac{x^3}{3} - \frac{x^4}{4} + \dots$$

portée aux atomes neutres, comparable en intensité à la liaison ionique. La liaison covalente est très directionnelle (fig. 11). Ainsi, le carbone, le silicium, le germanium ont la structure du diamant, les atomes étant entourés de quatre voisins placés au sommet d'un tétraèdre; cependant cet arrangement donne une faible occupation de l'espace: le taux de remplissage de la structure du diamant est 0,34, alors qu'il est de 0,74 pour une structure compacte. La liaison tétraédrique n'autorise que quatre plus proches voisins alors qu'une structure compacte en permet douze. Il ne faut pas exagérer la ressemblance entre la liaison du carbone et celle du silicium. Le carbone donne naissance à la biologie, le silicium à la géologie et à la technologie des semi-conducteurs.

La liaison covalente est habituellement formée de deux électrons provenant de chacun des atomes liés. Les électrons participant à la liaison tendent à être partiellement localisés entre les deux atomes liés. Les spins des deux électrons de la liaison sont antiparallèles.

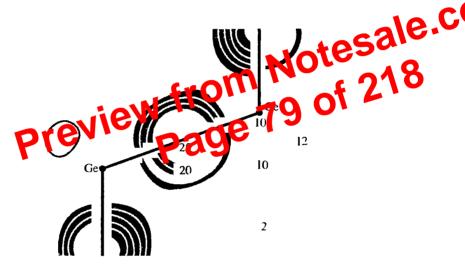


Figure 11 Concentration des électrons de valence calculée dans le germanium. Les nombres situés sur les contours indiquent la concentration électronique par maille élémentaire en prenant quatre électrons de valence par atome (huit électrons par maille élémentaire). Noter la forte concentration des électrons à midistance de la liaison Ge-Ge. Ceci n'est pas un résultat surprenant pour une liaison covalente. (D'après J.R. Chelikowsky et M.L. Cohen).

La liaison de la molécule d'hydrogène est un exemple simple de liaison covalente. La liaison covalente la plus forte (fig. 12) apparaît quand les spins des deux électrons sont antiparallèles. La liaison dépend de l'orientation relative des spins, non pas à cause de l'importance de l'interaction dipolaire magnétique entre les spins, mais parce que le principe de Pauli modifie la distribution des charges en fonction de l'orientation du spin. Cette énergie de Coulomb dépendante du spin est appelée interaction d'échange.

Le principe de Pauli prévoit une forte répulsion entre des atomes à couches complètes. Si les couches ne sont pas remplies, l'interpénétration des nuages électroniques ne nécessite pas l'excitation des électrons vers des couches d'énergie élevée et la liaison sera plus courte. Comparer la distance entre les atomes de Cl_2 (2 Å) et la distance interatomique dans Ar cristallin (3,76 Å); comparer aussi les énergies de cohésion données dans le tableau 1. La différence entre Cl_2 et Ar_2 réside dans le fait que l'atome de Cl a cinq électrons dans le niveau 3p et que l'atome de Ar en a six, ce qui sature la couche. La répulsion est plus forte pour Ar que pour Cl.

en utilisant [30]. Les autres composantes de déformation e_{xy} , e_{yz} , e_{zx} sont définics comme étant les variations des angles entre les axes : en utilisant [26], nous obtenons

$$\mathbf{e}_{xy} \equiv \mathbf{x}' \cdot \mathbf{y}' \cong \varepsilon_{yx} + \varepsilon_{xy} = \frac{\partial u}{\partial y} + \frac{\partial v}{\partial x};$$

$$\mathbf{e}_{yz} \equiv \mathbf{y}' \cdot \mathbf{z}' \cong \varepsilon_{zy} + \varepsilon_{yz} = \frac{\partial v}{\partial z} + \frac{\partial w}{\partial y};$$

$$\mathbf{e}_{zx} \equiv \mathbf{z}' \cdot \mathbf{x}' \cong \varepsilon_{zx} + \varepsilon_{xz} = \frac{\partial u}{\partial z} + \frac{\partial w}{\partial x};$$
[32]

Nous ponvons remplacer les signes \cong par des signes = si nous négligeons les termes du second ordre, du type ε^2 . Les six coefficients sans dimension $e_{\alpha\beta}(=e_{\beta\alpha})$ définissent chaplètement la déformation.

Dilatation

L'angmentation relative de volume associée à la deformation es capp (\hat{e}) dilatation. La dilatation est négative dans le rus \hat{e} un pression hydrostations. A près déformation, le cube unité d'arête \hat{e} , \hat{e} , \hat{e} à la volume $V' = \mathbf{x} \cdot \mathbf{y} \times \hat{\mathbf{z}}'$, [33]

$$V' = \mathbf{x} \mathbf{y} \times \mathbf{z}', \tag{33}$$

en vertu du résultat bien commi du volume d'un parallélépipède d'arêtes x'. y'. z'. A partir de [26], nons obtenons

$$\mathbf{x}' \cdot \mathbf{y} \times \mathbf{z} = \begin{vmatrix} 1 + \varepsilon_{\tau x} & \varepsilon_{\tau y} & \varepsilon_{\tau z} \\ \varepsilon_{\tau z} & 1 + \varepsilon_{y y} & \varepsilon_{\tau z} \\ \varepsilon_{z x} & \varepsilon_{z y} & 1 + \varepsilon_{z z} \end{vmatrix} \cong 1 + \mathbf{e}_{\tau x} + \mathbf{e}_{r y} + \mathbf{e}_{z z}.$$
 [34]

Nons avons négligé les produits de deux composantes de déformation (termes du deuxième ordre). La dilatation δ est donc donnée par

$$\delta \equiv \frac{V' - V}{V} \cong e_{xx} + e_{yy} + e_{zz}$$
 [35]

Composantes de la contrainte

La contrainte est, par définition, la force qui s'exerce sur l'unité de surface du solide. Il y a neuf composantes de la contrainte : X_x , X_y , X_y , Y_z , Y_y , Y_y , Y_z , Z_y , Z_y , Z_z . Les lettres capitales indiquent la direction de la force et les indices donnent la direction de la normale an plan sur lequel s'applique la force. Dans la figure 15, la composante X_{λ} de la contrainte représente une force appliquee dans la direction x sur une surface unitaire d'un plan dont la normale est dirigée suivant x. La composante X_x de la contrainte représente une force appliquée dans la direction x sur une section plane d'aire unité, normale à la direction y. Le nombre de composantes indépendantes de la contrainte est réduit de 9 à 6 en appliquant à un cube élémentaire (comme celui de la figure 16) la

CHAPITRE 4

Phonons I

VIBRATIONS DU RÉSEAU

	sale.co
VIBRATIONS DES RÉSEAUX MONOATOMIQUES Première zone de Brillouin Vitesse de groupe Grandes on greit 3-11 unde ou cas d'un command de l'expérience RÉSEAUX AYANT DEUX ATOMES PAR MAILLE ÉLÉMENTAIRE	218 94 96 96 96
RÉSEAUX AYANT DEUX ATOMES PAR MAILLE ÉLÉMENTAIRE	97
QUANTIFICATION DES VIBRATIONS DU RESEAU	100
QUANTITÉ DE MOUVEMENT D'UN PHONON	101
DIFFUSION INÉLASTIQUE DES NEUTRONS PAR DES PHONONS	103
RÉSUMÉ	104
Problèmes	104
1. Réseau monoatouique linéaire	104
2. Équation d'onde d'un milieu continu	105
3. Base formée de deux atomes différents	105
4. Anomalie de Kohn	105
5. Chaîne diatomique	105
6. Vibrations atomiques dans un métal	105
7. Phonons mous	106
BIBLIOGRAPHIE	106

Phonons II (chap. 5) traite des propriétés thermiques des cristaux. Le chapitre 10 traite de l'interaction entre phonons et photons et de l'interaction entre phonons et électrons.

Tableau 1 Températures de Debye et conductivité thermique*

0,85 2 00 Na Mg	Μg	6	— Symbole	oole				1	D	0 27	1,2230	-		_	75
₩)	_					
_	4	_ -⊱	_ Limit	Limite basse température de $ heta$, en kelvín	empérati	are de θ ,	en kelvír	,	4(₹	ŝ	<u> </u>	<u>~</u>	ರ	¥
400	-	1,56	Cond	uctivité t _i	hermique	s à 300 K	(en W .	Conductivité thermique à 300 K, en W . cm ⁻¹ . K ⁻¹	6 ,	42B					92
1,41 1,56									J	2,3/	1,48		_	_	
<u>ප</u> _	တ္တ	F	>_	ర	£	æ	కి	ż	ZZ ZZ	<u>8</u>	<u>පී</u> —-	As	<u>න</u>	<u>ā</u> _	~
91 230 1 U2	360, 10,16	420 U,22	380	630	410 0 08	470 0,80	445	450 0.91	343	727 720 1200 16 0.41	374	282 10.50	90.0		72
<u>්</u>	<u>></u>	, ż	2	_ §	<u>2</u>	2	<u></u>	P	<u>공</u>		-'	1	1	_=	×
56 147	280	29.	275	450		600	480			12					64
<u>&</u>	υ, 1 / La β	£ 0 23	Ta Ta	gg.'_ ×	R	8	06 =	۳ (۵,۷		28,00 E	0,67	Di 24	Po	₩	_ =
38 110 0 36	142	252	240 u,58	400	430 0,48	500 U &&	420	240	165 77	1,978,5 0.46	105	119			
Ra Ba	Ϋ́						.		2	N	-	-	-		-
		පී	<u>-</u>	2	E	E E	<u>.</u>	3	1	Ò	운	<u>-</u>	T Y	l q,	3
=		0	0 11	0,12 0,	0,16		0,13	200 0,11		210		— 0 — 0	0 17 0	120 2	210 0,16
		£	- E		<u>운</u> 	<u>a</u>		Am Cm	<u>#</u> _	<u>ა</u>	_ _	Ē	N PM	<u>ء</u>	ے
		163			207		_			2	S				
		oʻ.	0,54 0,	0,28		n l en n	1 /0 0	_		1	1				

Pour que la conductivité thermique soit possible, il faut qu'il y ait dans le cristal des mécanismes par lesquels la distribution des phonons peut être mise localement en équilibre thermique. Sans ces mécanismes, nous ne pourrions pas dire qu'à une extrémité du cristal les phonons sont en équilibre thermique à une température T_2 , et à la température T_1 à l'autre extrémité. Pour expliquer la conductivité thermique, il ne suffit pas d'avoir un mécanisme qui limite le libre parcours moyen, il faut encore trouver un processus qui établisse une distribution d'équilibre des phonons. Les collisions des phonons avec les défauts ou la surface du cristal n'établissent pas l'équilibre thermique, car de telles collisions ne changent pas l'énergie des phonons : la fréquence ω_2 du phonon diffusé est égale à la fréquence ω_1 du phonon incident.

Il faut également remarquer que les mécanismes de collision à trois phonons

$$\mathbf{K}_1 + \mathbf{K}_2 = \mathbf{K}_3 \tag{45}$$

ne contribuent pas à l'équilibre, mais pour une raison subtile : la quantité de mouvement totale du gaz de phonons ne varie pas lors d'une telle collision. Une distributent d'équilibre de phonons à une température T peut déplacer le cristal avec une vir se qui n'est pas affectée par les collisions à trois phonons du type [45]. Pour de celles collisions, la quantité de mouvement des phonons

 $J = \left\{ \begin{array}{c} I \\ I \end{array} \right\} = \left\{ \begin{array}{c} I \end{array} \right\} = \left\{ \begin{array}{c} I \\ I \end{array} \right\} = \left\{ \begin{array}{c} I \end{array} \right\} = \left\{ \begin{array}{c} I \\ I \end{array} \right\} = \left\{ \begin{array}{c} I$

est conservée, car lors de la 16 luon la variation de Lest $L_3 - K_2 - K_1 = 0$. Ici n_K est le nombre de phane d'évec eur d'onde K. Pour le distribution où $J \neq 0$, les collisions du type [45] so it incapables d'établir a mut tent en l'équilibre thermique car elles laissent J inchangé. Si nous partons d'une distribution de phonons chauds avec $J \neq 0$, la distribution va se propager le long du barreau en laissant J constante. Il n'y a donc pas de résistance thermique. Le problème qu'illustre la figure 16 est comparable à celui de collisions entre les molécules d'un gaz dans un tube rectiligne à parois sans friction.

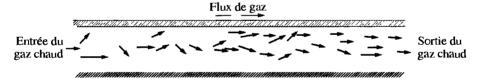


Figure 16a Flux de molécules de gaz le long d'un tube ouvert avec des parois sans friction. Les collisions élastiques entre les molécules de gaz ne changent pas la quantité de mouvement ou le flux d'énergie du gaz car, dans chaque collision, la vitesse du centre de gravité des deux particules et leur énergie restent inchangées. Donc l'énergie est transportée de gauche à droite sans être entraînée par un gradient de température. Par conséquent la résistivité thermique est nulle et la conductivité thermique est infinie.

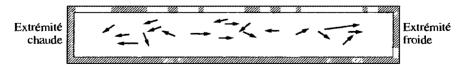


Figure 16b La définition habituelle de la conductivité thermique dans un gaz se rapporte à une situation où aucun transport de masse n'est possible. Le tube est fermé aux deux bouts, ce qui empêche l'entrée ou la sortie des molécules. Dans un gradient de température les paires de particules entrant en collision dont le centre de gravité a une vitesse supérieure à la normale, tendent à se diriger vers la droite ; celles dont le centre de gravité a une vitesse inférieure à la moyenne tendent à se diriger vers la gauche. Il s'établit donc un léger gradient de concentration, croissant de gauche à droite, tel que le transport de masse résultant soit nul bien qu'il y ait transfert d'énergie de l'extrémité chaude à l'extrémité froide.

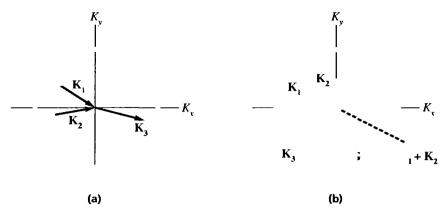


Figure 17 Mécanismes de collision des phonons (a) de type normal $K_1+K_2=K_3$ et (b) avec implicop $K_1+K_2=K_3+G$, dans un réseau carré à deux dimensions. Le carrè grisé de chaque figure 10° è le le la première zone de Brillouin dans l'espace K des phonons ; cette zone contient toute 10° value indépendantes possibles du vecteur d'onde des phonons. Les vecteurs K dont l'ext é nit le contre de la zone représentent les phonons absorbés lors de la collision ; ceux dont l'origne et au centre de la zone représentent les phonons émis lors de la collision. Nous dovant le phonons de la contre de la composante selon l'axe x du flux de phonons à acte inversée. Le vé geur x is sau reciproque x représenté, a une longueur x du flux de phonons à acte inversée. Le vé geur x is parallèle à l'axe x. Dans chacun de ces deux met aux mass x et x. L'énergie se conserve d'une x x x.

pour que la collision [47] soit possible. (Si les deux phonons ont un K petit, et donc une faible énergie, il n'y a pas moyen d'obtenir par leur collision un phonon dont le vecteur d'onde serait à l'extérieur de la première zone. Le processus umklapp doit conserver l'énergie, comme le mécanisme normal). À basse température, le nombre de phonons de haute énergie $\frac{1}{2}k_B\theta$ varie à peu près comme $e^{-\theta/2T}$, d'après la loi de Boltzmann. Cette variation exponentielle est en bon accord avec l'expérience. En résumé, le libre parcours moyen des phonons qui intervient dans l'équation [42] est le libre parcours moyen pour des collisions umklapp et non pour toutes les collisions entre phonons.

Défauts

Les effets géométriques peuvent également intervenir notablement pour limiter le libre parcours moyen. Nous devons considérer la diffusion des phonons par les faces et interfaces des cristaux, par la distribution des masses isotopiques dans les éléments chimiques naturels, par les impuretés chimiques, par les défauts cristallins et par les structures amorphes.

Quand, à basse température, le libre parcours moyen l devient comparable à la largeur de l'échantillon, la valeur de l est limitée par cette largeur et la conductivité thermique devient fonction des dimensions de l'échantillon. Cet effet a été découvert par de Haas et Biermasz.

La décroissance brutale de la conductivité thermique des cristaux purs à faible température est due à l'effet de taille. À basse température les processus umklapp ne limitent plus la conductivité thermique et l'effet de taille devient dominant, comme le montre la figure 18. On peut s'attendre à ce que le libre parcours moyen des phonons soit constant, et de l'ordre du diamètre *D* de l'échantillon, d'où

$$K \approx CvD$$
. [48]

Le seul terme du membre de droite dépendant de la température est C, la capacité calorifique, qui varie en T^3 à basse température. Nous pouvons donc nous attendre à ce que

Tableau 1 Paramètres calculés de la surface de Fermi des électrons libres d'un métal à température ambiante (sauf pour Na, K, Rb, Cs à 5 K et Li : valeurs à 78 K)

Valence	Métal	en électrons (cm ⁻³)	de rayon 's	(cm ⁻¹)	(cm.s ⁻¹)	de Fermi (eV)	$T_F \equiv \varepsilon_F/k_B \tag{K}$
-	ï	$4,70 \times 10^{22}$	3,25	6801 × 11,1	$1,29 \times 10^{8}$	4.72	5.48×10^4
	Na	2,65	3,93	0,92	1,07	3,23	3.75
	×	1,40	4,86	0,75	98'0	2,12	2.46
	Rb	1,15	5,20	0,70		1,85	2.15
	ඊ	0,91	5,63			1,58	1.83
	Cn	8,45	2,67	1,36	1,57	2,00	8,12
-	Ag	5,85	3,02	1,20	1.39	5,48	6.36
	Au	5,90	3,01	1,20	1,39	5,51	6,39
5	Be	24,2	1,88	1,93	23	14.14	16.41
	Mg	8,60	2,65	9		7.13	8.27
	Ça	4,60	3,27	1,11	Į.	4.68	5,43
	Sr	3,56	3,56		Ê	3,95	4.58
	Ba	3,20	3,69	86.0	1,13	3,65	4.24
	Zu	13,10	2,31		1,62	9,39	10,90
	ප	9,28	2,59		1,67	7,46	8,66
85	¥	18,06	2,07	1,75	2,02	11,63	13.49
	Ça	15,30	2,19	1,65	161	10,35	12,01
	In	11,49	2,41	1,50	S.74 S	8,60	86'6
4	Pb	13,20	2,30	1,57	1,82	9,37	10.87
	Sn (w)	14,48	2,23	1,62	7	10,03	11,64

où A est une constante. Nous voyons que [2] est solution de [1], car

$$\frac{\mathrm{d}\psi_n}{\mathrm{d}x} = A\left(\frac{n\pi}{L}\right)\cos\left(\frac{n\pi}{L}x\right) \; ; \quad \frac{\mathrm{d}^2\psi_n}{\mathrm{d}x^2} = -A\left(\frac{n\pi}{L}\right)^2\sin\left(\frac{n\pi}{L}x\right),$$

d'où la valeur de l'énergie ε_n est donnée par :

$$\varepsilon_n = \frac{\hbar^2}{2m} \left(\frac{n\pi}{L}\right)^2.$$
 [3]

Nous voulous placer N électrons sur le segment. D'après le **principe d'exclusion de Pauli**, deux électrons ne peuvent avoir tous leurs nombres quantiques identiques. C'est-à-dire que chaque orbitale peut être occupée par un électron au maximum. Ceci s'applique aux électrons des atomes, des molécules ou des solides. Dans un solide linéaire, les nombres quantiques d'un électron de conduction sont n et m_s , où n est un entier quelconque positif et $m_s = \pm \frac{1}{2}$, suivant l'orientation du spin. Une paire d'orbit le associée au nombre quantique n peut recevoir deux électrons, un de spin positif en respin négatif. S'il y a six électrons, dans un état non excité, les orbitales et price sont données par le tableau :

Plusieurs orbitales peuvent avoir la même énergie. Le nombre d'orbitales de même énergie est appelé **dégénérescence**.

Soit n_F le niveau rempli d'énergie la plus élevée ; nous commençons le remplissage par le niveau le plus bas (n=1) et nous continuons à remplir les niveaux supérieurs jusqu'à ce que les N électrons aient été placés. Par commodité, nous prendrons N pair. La condition $2n_F = N$ détermine n_F , valeur de n pour le niveau rempli le plus élevé. L'énergie de Fermi ε_F est définie comme l'énergie du niveau rempli le plus élevé pour un état non excité. D'après [3], avec $n = n_F$ nous avons dans le modèle unidimensionnel ;

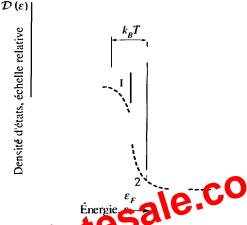
$$\varepsilon_F = \frac{\hbar^2}{2m} \left(\frac{n_F \pi}{L} \right)^2 = \frac{\hbar^2}{2m} \left(\frac{N \pi}{2L} \right)^2.$$
 [4]

EFFET DE LA TEMPÉRATURE SUR LA FONCTION DE DISTRIBUTION DE FERMI-DIRAC

L'état fondamental est l'état du système à N électrons au zéro absolu. Qu'advient-il si la température augmente ? C'est un problème classique en mécanique statistique élémentaire et sa solution est donnée par la fonction de distribution de Fermí-Dirac. (Appendice D et TP chapitre 7).

L'énergie cinétique du gaz d'électrons augmente quand la température augmente ; certains niveaux d'énergie, vides au zéro absolu, sont occupés tandis que d'autres, remplis au zéro absolu, sont maintenant libres (fig. 3). La fonction de distribution de Fermi-

Figure 5 Densité des états d'une particule unique en fonction de l'énergie, pour un gaz d'électrons libres à trois dimensions. La courbe en tirets représente la densité $f(\varepsilon,T)\mathcal{D}(\varepsilon)$ des états *remplis* à une température donnée telle que k_BT soit petit par rapport à ε_F . L'aire ombrée représente les états remplis au zéro absolu. L'énergie moyenne augmente lorsque la température passe de 0 à T, car les électrons passent par agitation thermique de la région 1 à la région 2.



À un facteur près de l'ordre de l'unité, le nombre totale l'artit et per unité d'énergie, pour l'énergie de Fermi, est juste égal au nombre a al des cectrons de coronale loi divisé par l'énergie de Fermi.

CAPACITÉ DE PIQUE DU GAZ D'ÉLICON

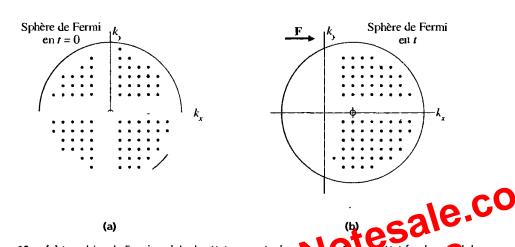
La question qui souleva les plus grandes difficultés lors des premiers développements de la théorie électronique des métaux est celle de la capacité calorifique des électrons de conduction. La mécanique statistique classique prédit qu'une particule libre aura une capacité calorifique de $\frac{3}{2}k_B$, où k_B est la constante de Boltzmann. Si N atomes fournissent chacun un électron de valence au gaz, et si les électrons sont libres de se déplacer, alors la contribution électronique à la capacité calorifique devrait être $\frac{3}{2}Nk_B$. Mais l'expérience montre que cette contribution, à la température ambiante, ne dépasse généralement pas un pour cent de cette valeur.

Cette différence étonna les chercheurs de l'époque, comme Lorentz: comment les électrons pouvaient-ils participer au processus de conductivité électrique, alors qu'ils ne contribuaient pas à la capacité calorífique? Cette question ne trouva de réponse qu'après la découverte du principe d'exclusion de Pauli et de la fonction de distribution de Fermi. Fermi trouva l'équation correcte et put alors écrire, «On constate que la chaleur spécifique tend vers zéro au zéro absolu et qu'à basse température elle est proportionnelle à la température absoluc».

Quand on chauffe un échantillon depuis le zéro absolu, tous les électrons ne gagnent pas une énergie $\sim k_BT$ comme le prévoit la théorie classique ; seuls les électrons dont les orbitales sont situées dans un domaine d'énergie k_BT à partir du niveau de Fermi sont excités thermiquement ; ces électrons augmentent leur énergie d'environ k_BT , comme le montre la figure 5. Ceci donne immédiatement une solution qualitative au problème de la capacité calorifique du gaz des électrons de conduction. Si N est le nombre total d'électrons, seule une fraction de l'ordre de T/T_T peut être thermiquement excitée à la température T, car seuls ces électrons sont à moins de k_BT du haut de la distribution d'énergie.

Chacun de ces NT/T_F électrons a une énergie thermique de l'ordre de k_BT , et, par conséquent, l'énergie thermique totale des électrons U est de l'ordre de :

Bi 0,008 **As** 0,19 **Sb** 0,11 cacalorifique électronique y des métaux Sn (%) 1.410 **Pb** 2,98 පී Š O 1,233 1,35 0,912 0,596 1,025 1 48 0 58 1,69 සු ₽ 8 Valeur calculée de y avec modèle de l'électon ligit mu moi⁻¹ K⁻² PS et N. PEARLMAN. 6,8 $m_{\rm th}/m = (\gamma \, {\rm expérimentale})/(\gamma \, {\rm electr} \, {\rm n} \, {\rm bre})$ ₽ (D'après les calculs fournis aimablement par N. Plu La masse thermique effective est définie par l'équa Valeurs expèrimentales et calculèes de la capaci 3,1 듄 γ expérimentale en mJ mol $^{-1}$, K $^{-2}$ 3,3 9s 2,4 2,3 မ Symbole **#** 2,16 3,35 **Ż** 2,80 | 1,3 | 0,992 10,2 Sc 10,7 **5 5** n 992 Tablean 2 1,511 0,34 3,6 2,9 1 094 2,41 1,668 2,238 2,08 1,25



Notons que la sphère de Fermi est deplacée en bloc.

À cause des collisions des électrons avec les impuretés, les défauts du réseau et les phonons, la sphère déplacée peut être maintenue stationnaire dans un champ électrique. Si le temps entre deux collisions est τ , le déplacement de la sphère de Fermi en régime continu est donné par [41]. L'incrément de vitesse est $\mathbf{v} = -e\mathbf{E}\tau/m$. S'il y a, dans un champ électrique \mathbf{E} constant, n électrons de charge q = -e par unité de volume, la densité de courant électrique est :

$$\mathbf{j} = nq\mathbf{v} = ne^2 \tau \mathbf{E}/m. \tag{42}$$

Ceci est la loi d'Ohm. La conductivité électrique σ est définie par $\mathbf{j} = \sigma \mathbf{E}$, d'où

$$\sigma = ne^2 \tau / m \quad . \tag{43}$$

La résistivité électrique ρ est , par définition, l'inverse de la conductivité, d'où :

$$\rho = m/ne^2\tau. \tag{44}$$

Le tableau 3 donne des valeurs de la conductivité et de la résistivité électrique des éléments. Il est utile de se rappeler que dans le système d'unités de GAUSS, σ a la dimension d'une fréquence.

Il est facile d'interpréter le résultat [43] pour la conductivité. Nous nous attendons à ce que la charge transportée soit proportionnelle à la densité de charge ne; le facteur -e/m intervient car l'accélération dans un champ électrique donné est proportionnelle à e et inversement proportionnelle à la masse m; et τ décrit le temps pendant lequel le champ agit librement sur le porteur. Comme on s'en est aperçu pour plusieurs semi-conducteurs à faible concentration de porteurs, on obtient à peu près le même résultat pour la conductivité électrique en prenant un gaz classique d'électrons (distribution de Maxwell). Le paragraphe sur la théorie du transport au chapitre 14 de TP y expose l'équivalence mathématique.

Lorsque j'avais commencé à y réfléchir, je sentais que le problème essentiel était d'expliquer comment les électrons arrivent à se faufiler à travers tous les ions du métal... À l'aide de l'analyse de Fourier, je trouvais directement et à ma grande surprise, que l'onde ne différait de l'onde plane des électrons libres, que par une modulation.

F. BLOCH

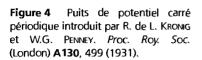
Le modèle des électrons libres nous donne un bon aperculus et la acid calorifique, la conductivité thermique, la conductivité électrique, la sisse publité magnétique des ur l'électrodynamique des métaux. Ceperdants ce modèle ne permet pas d'approfondir d'autres questions aussi importantes que la disanction entre détaux, eni-metaux, semi-conducteurs et isolants; l'existente le valeurs positive par le coefficients de Hall; le rapport entre les électrons de valence des atomes librer, ainsi que d'autres pro métales phénomènes de transport particulièrement dans le domaine magnétique. Il nous faut une théorie moins naive; heureusement, la moindre tentative d'amélioration du modèle des électrons libre se révèle extrêmement profitable.

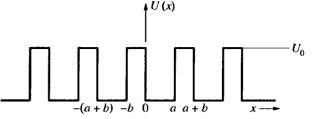
La différence entre un bon conducteur et un bon isolant est frappante. Hormis la possibilité de supraconductivité, la résistivité électrique d'un métal pur peut atteindre 10^{-10} ohm-cm à la température de 1 K. La résistivité d'un bon isolant peut atteindre 10^{22} ohm-cm. Cette gamme de 10^{32} est certainement la plus étendue parmi les propriétés communes à tous les solides.

Tous les solides contiennent des électrons. La question importante au sujet de la conductivité électrique est de savoir comment les électrons réagissent face à un champ électrique appliqué. Nous verrons que les électrons dans les cristaux sont localisés dans des bandes d'énergie (fig. 1) séparées par des domaines d'énergie où l'on ne peut trouver aucune orbitale ondulatoire d'électrons; de telles régions sont appelées bandes interdites ou trous d'énergie et nous verrons qu'elles résultent de l'interaction des ondes associées aux électrons de conduction avec les ions du cristal.

Si, dans un cristal, le nombre des électrons est tel que les bandes d'énergie permises sont entièrement pleines ou entièrement vides, alors aucun électron ne peut se déplacer dans un champ électrique et le cristal se comporte en isolant. Si une ou plusieurs bandes sont partiellement remplies, par exemple entre 10 et 90 %, le cristal possède les propriétés d'un métal. Si toutes les bandes sont entièrement remplies à l'exception d'une ou deux qui sont presque pleines ou peu remplies, le cristal est alors un semi-conducteur ou un semi-métal.

Pour comprendre la différence entre les isolants et les conducteurs, nous devons généraliser le modèle des électrons libres de manière à tenir compte de la périodicité du réseau dans le solide. L'existence d'une bande interdite sera la propriété la plus remarquable qui en découlera.





$$\psi = A e^{iKx} + Be^{-iKx}, \qquad [12]$$

d'ondes planes qui se déplacent simultanément vers la droite et vers la gauche, avec une énergie

$$\varepsilon = \hbar^2 K^2 / 2m.$$

 $\varepsilon = \hbar^2 K^2/2m.$ Dans l'intervalle -b < x < 0, correspondant à l'intérieur de la barrière la solution aura la forme : $\psi = C e^{\varrho \tau} + D e^{-\varrho x}$

avec:

$$\mathcal{C}_{1} = \hbar Q^{2}/2m. \qquad \qquad [15]$$

n complète sous l d'une fonction de Bloch [7]. La solution dans le région a < x < a + b lor. reliée à la solution [14] de la région -b < x < 0 d'après le théorème de Bloch :

$$\psi(a < x < a + b) = \psi(-b < x < 0)e^{ik(a+b)}$$
[16]

qui permet de définir le vecteur d'onde k servant à indexer les solutions.

Les constantes A,B,C,D sont choisies de telle façon que ψ et $d\psi/dx$ soient continues aux points x = 0 et x = a. Ce sont les conditions aux limites usuelles pour un problème de mécanique quantique avec un puits de potentiel carré. En x = 0:

$$A + B = C + D; [17]$$

$$iK(A-B) = Q(C-D).$$
 [18]

En x = a et en utilisant l'équation [16] où $\psi(a)$ et $\psi(-b)$ exprimées du coté des barrières ne diffèrent que d'un facteur de phase $\exp[ik(a+b)]$, on a :

$$A e^{iKa} + B e^{-iKa} = (C e^{-Qb} + D e^{Qb})e^{ik(a+b)}$$
 [19]

$$iK(A e^{iKa} - B e^{-iKa}) = Q(C e^{-Qb} - D e^{Qb})e^{ik(a+b)}$$
 [20]

Les quatre équations [17] à [20] ont une solution si et seulement si le déterminant des coefficients A, B, C, D est nul, c'est-à-dire si

$$[(Q^2 - K^2)/2QK] \operatorname{sh} Qb \sin Ka + \operatorname{ch} Qb \cos Ka = \cos k(a+b)$$
 [21a]

Les calculs qui conduisent à ce dernier résultat sont fastidieux.

Le résultat est simplifié si l'on représente le potentiel pour une «fonction» périodique delta que l'on obtient en faisant tendre b vers zéro et U_0 vers l'infini de façon que la grandeur $P = Q^2ba/2$ soit finie. Dans cette limite, $Q \gg K$ et $Qb \ll 1$. L'expression [21a] se simplifie,

$$(P/Ka)\sin Ka + \cos Ka = \cos ka.$$
 [21b]

de sorte que [35] devient :

$$C(k) = -\frac{(2mA/\hbar^2)f(k)}{k^2 - (2m\epsilon/\hbar^2)}$$
 [37]

Puisque la sommation [36] porte sur tous les coefficients C, nous avons pour tout n

$$f(k) = f(k - 2\pi n/a)$$
 [38]

Cette relation nous permet d'écrire :

$$C(k - 2\pi n/a) = -(2mA/\hbar^2) f(k) [(k - 2\pi n/a)^2 - (2m\varepsilon/\hbar^2)]^{-1}$$
 [39]

En sommant sur n les deux membres de l'égalité, en utilisant [36] et en simplifiant par f(k) on obtient:

$$(\hbar^2/2mA) = -\sum_n [(k - 2\pi n/a)^2 - (2m\varepsilon/\hbar^2)]^{-1}$$

Et avec l'aide de la relation usuelle :

$$-\sum_{n} \left[(k - 2\pi n/a)^2 - (2m\varepsilon/\hbar^2) \right]^{-1}$$
le:
$$\cot g x = \sum_{n} \frac{1}{C}$$
gentaliétiques dans lesquerés C untile notamment la

et de quelques manipulations trigen quéti ques dans lesqueré. O u die notamment la différence de deux cotange it se le produit de deux sints, la somme [40] devient :
$$\frac{a^3 \sin k a}{4Ka(\cos ka - \cos Ka)},$$
 [42]

où $K^2 = 2m\varepsilon/\hbar^2$ de même que dans l'équation [13].

Le résultat final [40] s'écrit :

$$(mAa^2/2\hbar^2)(Ka)^{-1}\sin Ka + \cos Ka = \cos ka$$
 [43]

et est en accord avec l'équation [21b] de Kronig-Penney en écrivant P sous la forme : $mAa^2/2\hbar^2$.

Approximation du réseau vide

Les structures de bandes sont souvent représentées comme des graphes de l'énergie en fonction du vecteur d'onde dans la première zone de Brillouin. Lorsqu'un vecteur d'onde vient à se trouver à l'extérieur de la première zone, on peut l'y ramener en lui soustrayant un vecteur approprié du réseau réciproque. On peut toujours trouver une telle translation. Cette opération facilite la visualisation des structures de bande tout en réduisant la taille du schéma. Étant donné que les bandes d'énergie sont souvent assez bien représentées par les énergies de l'électron libre, il est utile de représenter également les énergies de l'électron libre dans la première zone. L'énergie de l'électron libre est $\varepsilon_{\rm K} = \hbar^2 K^2 / 2m$. Il n'y a pas de restriction, à ce niveau, sur le vecteur d'onde K mais nous pouvons toujours écrire ceci en fonction d'un vecteur d'onde k contenu dans la première zone. Étant donné un vecteur K, on peut toujours trouver un vecteur du réseau réciproque G tel que K = k + G, k appartenant à la première zone. L'énergie peut alors s'écrire :

$$\varepsilon(k_x, k_y, k_z) = (\hbar^2/2m)(\mathbf{k} + \mathbf{G})^2$$

= $(\hbar^2/2m)[(k_x + G_x)^2 + (k_y + G_y)^2 + (k_z + G_z)^2]...$

Nous ne retenons que les équations contenant les coefficients $C(\frac{1}{2}G)$ et $C(-\frac{1}{2}G)$, en négligeant tous les autres coefficients. Alors une équation de [31] dévient, avec $K = \frac{1}{2}G$ et $\lambda \equiv \hbar^2 (\frac{1}{2} G)^2 / 2m$,

 $(\lambda - \varepsilon)C(\frac{1}{2}G) + UC(-\frac{1}{2}G) = 0.$ [44]

Une autre équation de [31] est :

$$(\lambda - \varepsilon)C(-\frac{1}{2}G) + UC(\frac{1}{2}G) = 0.$$
 [45]

Ces deux équations ont des solutions non triviales pour les deux coefficients si l'énergie ε satisfait à:

 $\begin{vmatrix} U - \varepsilon & U \\ U & \lambda - \varepsilon \end{vmatrix} = 0$ [46]

d'où:

$$(\lambda - \varepsilon)^2 = U^2; \quad \varepsilon = \lambda \pm U = \frac{\hbar^2}{2m} (\frac{1}{2} G)^2 \pm U.$$

L'énergie a deux racines, l'une est inférieure de U à l'énergie cin Uin potentielle 2*U* cos O libre, l'autre lui est supérieure de U. Par conséquent l'ére a créé une bande interdite d'amplitude 2U à la limit e le zone. Le rapport entre les coefficients « C» pour se Jéoure aussi bien et [44 [] unde [45]]

la dernière égalité découle de [47]. Le développement de Fourier de $\psi(x)$ a donc les deux solutions $\psi(x) = \exp(iGx/2) \pm \exp(-iGx/2)$.

Ces deux orbitales sont identiques à [5].

Une solution donne la fonction d'onde du bas de la bande interdite, l'autre donne celle du haut de cette bande. Ce sera l'une ou l'autre suivant le signe de U dans l'énergie potentielle. Cherchons maintenant les orbitales pour un vecteur d'onde k proche de la limite de zone $\frac{1}{2}$ G. Nous utilisons la même approximation à deux composantes avec maintenant une fonction d'onde de la forme

$$\psi(x) = C(k)e^{ikx} + C(k - G)e^{i(k - G)x}.$$
 [49]

D'après l'équation centrale, nous résolvons le système de deux équations

$$(\lambda_k - \varepsilon)C(k) + UC(k - G) = 0$$

$$(\lambda_{k-G} - \varepsilon)C(k - G) + UC(k) = 0,$$

avec λ_k défini par $\hbar^2 k^2/2m$. Ces équations ont une solution si l'énergie ε satisfait à

$$\begin{vmatrix} \lambda_k - \varepsilon & U \\ U & \lambda_{k-G} - \varepsilon \end{vmatrix} = 0,$$

c'est-à-dire : $\varepsilon^2 - \varepsilon(\lambda_{k-G} + \lambda_k) + \lambda_{k-G}\lambda_k - U^2 = 0$.

L'énergie a deux racines :

$$\varepsilon = \frac{1}{2}(\lambda_{k-G} + \lambda_k) \pm \left[\frac{1}{4}(\lambda_{k-G} - \lambda_k)^2 + U^2\right]^{1/2},$$
 [50]

et chacune d'elles décrit une bande d'énergie. Ces deux racines sont représentées dans la figure 9.

		E_{q} ((eV)			E_{g} (eV)
Cristal	Transition	0 K	300 K	Cristal	Transition	0 K	300 K
Diamanı	i	5,4		HgTe (*)	d	~ 0,30	
Si	i	1,17	1,11	PbS	d	0,286	0,34-0,37
Ge	i	0,744	0,67	PbSe	d	0,165	0,27
Snα	d	0,00	0,00	Pb T e	d	0,190	0,29
ln S b	d	0,23	0,17	CdS	d	2,582	2,42
InAs	d	0,43	0,36	CdSe	d	1,840	1,74
InP	d	1,42	1,27	CdTe	d	1,607	1,44
GaP	\boldsymbol{i}	2,32	2,25	ZnO		3,436	3,2
GaAs	d	1,52	1,43	ZnS		3,91	36
GaSb	d	0,81	0,68	Sn T e	d	0,3	
AlSb	i	1,65	1,6	AgCl	- 1	at C	3,2
SiC (hex)	$oldsymbol{i}$	3,0	_	AgI		Oto	2.8 🔼 🕻
Te	d	0,33	_	Cu _o C 🞷	יו ח	2,172	91

Tableau 1 Largeur de la bande interdite entre les bandes de valence et de conduction (i = transition indirecte; d = transition directe)

* HgTe est un semi-métal ; les banders de la la la la

0,56

ZnSb

sèque. La concerta journ porteurs par ém objetade à partir de la mesure de la tension de Hall (chap. 6), avec quelque ois en pars quelques mesures de conductivité. Seules des mesures optiques déterminent si la transition est directe ou non. Les bords des bandes de Ge et Si sont reliés par des transitions indirectes ; les bords des bandes de lnSb sont reliés par une transition directe (fig. 6). La bande interdite de Sn α est directe et elle est nulle ; HgTe et HgSe sont des seini-métaux et ont des bandes interdites négatives – c'est-à-dire que les bandes se chevauchent.

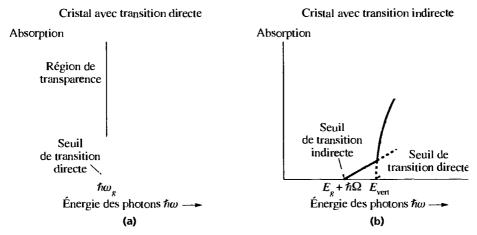


Figure 4 Absorption optique en fonction de l'énergie des phonons dans des isolants purs au zéro absolu. En (a) le seuil correspond à la bande interdite de largeur $E_g = \hbar \omega_g$. En (b) l'absorption optique est plus faible au voisinage du seuil : pour l'énergie $\hbar \omega = E_g + \hbar \Omega$ un photon est absorbé avec création de trois particules : un électron libre, un trou libre et un phonon d'énergie $\hbar \Omega$. En (b) l'énergie $E_{\rm vert}$ marque le seuil de création d'un électron libre et d'un trou libre, sans création de phonon. Une telle transition est dite verticale ; elle est semblable à la transition directe de (a). Ces graphiques ne montrent pas de raies d'absorption parfois observées juste en dessous du seuil. Ces raies sont dues à la création d'une paire électron-trou liés, appelée un exciton.

EFFETS THERMOÉLECTRIQUES

Considérons un semi-conducteur maintenu à température constante et soumis à un champ électrique qui entraîne l'apparition d'un courant de densité j_q . Si le courant est essentiellement constitué d'électrons, alors le flux de charges est égal à :

$$j_q = n(-e)(-\mu_e)E = ne\mu_e E.$$
 [54]

où μ_e est la mobilité des électrons.

Si l'on prend le niveau de Fermi μ comme référence, l'énergie moyenne transportée par un électron a pour expression :

$$(E_c-\mu)+\tfrac{3}{2}\,k_BT,$$

où E_c représente l'énergie au bord de la bande de conduction. Nous utilisons l'énergie de Fermi comme référence car deux conducteurs différents mis en contact ont le mane niveau de Fermi et à l'aide de ces résultats on peut résoudre les problèmes Le flux d'énergie qui accompagne le flux de charges est égal à

$$j_u = n(E_c - \mu + \frac{3}{2}k_BT)(\gamma \mu \cdot E)$$

 $j_u = n(E_c - \mu + \frac{3}{2} k_B T) (-\mu)$ Le coefficient de Peltier Π est défini par la relation jtransportée par unité de charte Pour les électrons, on a :

$$\Pi_e = -B \left(\frac{1}{2} \left(\frac{1}{2} \left(\frac{1}{2} \left(\frac{1}{2} \right) \right) \right) \right)$$
 [56]

Dans ce cas il est négatif étant donné que le flux d'énergie est de signe opposé au flux des charges. Pour les trous on a:

$$j_q = pe\mu_t E; \quad j_u = p(\mu - E_v + \frac{3}{2} k_B T) \mu_t E$$
 [57]

où E_{ν} représente l'énergie au bord de la bande de valence. On a dans ce cas :

$$\Pi_t = (\mu - E_v + \frac{3}{2} k_B T)/e$$
 [58]

qui est positif. Les équations [56] et [58] sont le résultat d'une théorie simple qui considère essentiellement la vitesse de déplacement ; les calculs faits à partir de l'équation de transport de Boltzmann aboutissent à des résultats peu différents 4.

Le pouvoir thermoélectrique absolu Q est défini comme étant le champ électrique produit par un gradient de température à circuit ouvert :

$$E = Q \operatorname{grad} T. ag{59}$$

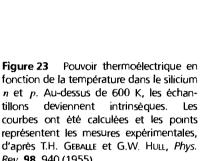
Le coefficient de Peltier est fonction du pouvoir thermoélectrique, on a :

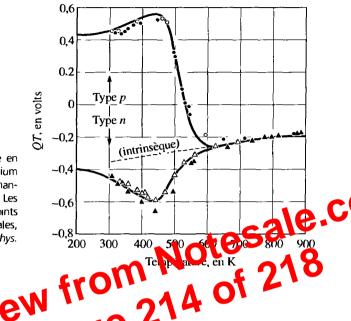
⁵ H.B. CALLEN, Thermodynamics, 2^e éd. Wiley, 1985.

$$\Pi = QT. \tag{60}$$

Ce résultat est important, il constitue la relation de Kelvin de la thermodynamique irréversible ⁵. Si l'on chauffe l'extrémité d'un échantillon semi-conducteur, il apparaît aux bornes de celui-ci une différence de potentiel dont le signe permet de déterminer si le matériau est de type n ou p (fig. 23).

⁴ R.A. SMITH, Semi-conductor, Cambridge, 1978; H. FRITZSCHE, Solid State Comm. 9, 1813 (1971). On présente une discussion simplifiée sur la théorie du transport de Boltzmann dans l'appendice F.





SEMI-MÉTAUX

Rev. 98, 940 (1955).

Figure 23

Dans les semi-r é a k ord de la ba ion a une énergie très légèrement inférieure à cell, du bord de la bande de volence. Un léger chevauchement des bandes de conduction et de valence conduit à de faibles concentrations en trous dans la bande de valence et en électrons dans la bande de conduction (tableau 7). Trois des semimétaux, l'arsenic, l'antimoine et le bismuth, appartiennent au groupe V de la classification périodique. Leurs atomes sont associés par paires dans le réseau, la maille élémentaire contient ainsi deux ions et dix électrons de valence. Le nombre pair d'électrons de valence doit permettre à ces éléments d'être des isolants. Comme les semiconducteurs, les semi-métaux peuvent être dopés avec des impuretés convenables pour modifier la concentration relative des trous et des électrons. Les concentrations absolues peuvent également être modifiées par application d'une pression, car le chevauchement des bandes varie avec la pression.

Tableau 7 Concentrations en électrons et en trous dans les semi-métaux

Semi-métal	$n_e \text{ (cm}^{-3})$	$n \ (cm^{-3})$
Arsenic	$(2,12\pm0,01)\times10^{20}$	$(2,12\pm0,01)\times10^{20}$
Antimoine	$(5,54 \pm 0,05) \times 10^{19}$	$(5.49 \pm 0.03) \times 10^{19}$
Bismuth	2.88×10^{17}	3.00×10^{17}
Graphite	$2,72 \times 10^{18}$	2.04×10^{18}

SUPER-RÉSEAUX

Considérons un cristal multicouches constitué de l'empilement alterné de fines couches de compositions différentes. Des couches cohérentes sur une échelle de l'ordre du nanomètre en épaisseur peuvent être déposées par épitaxie par jet moléculaire ou par dépôt d'organo-métalliques en phase vapeur. Ces techniques permettent de construire une structure super-périodique à grande échelle. Des systèmes constitués d'une alternance

BIBLIOGRAPHIE

- K., SEEGER, Semiconductor Physics: an introduction, 4^e éd. Springer, 1989.
- R. DAINEN, Introduction to applied solid state physics, 2e éd. Plenum, 1990.
- R.A. Smith, Semiconductors, Cambridge, 2e éd. 1978.
- S.M. Szf., Semiconductor devices, physics and technology, Wiley, 1985.
- M.L. COHEN and J.R. CHELIKOWSKY, Electronic structure and optical properties of semiconductor, 2^e éd., Springer, 1989.
- G.W. BEENAKER and H VAN HOUTEN, «Quantum transport in semiconductor nanostructures», Solid state physics 44, 1 (1991).